Kretos-Red HAH KRETOS RED

0200HO07982 RANGER-RED x SPARK RED x APPRENTICE *RC

GENOMAX RED & WHITE A2A2

3STAR OH RANGER RED
HAH ZAMBER VG-85-3YR-DEU
SPARK-RED
WIL AMBER VG-86-4YR-DEU
ENDCO APPRENTICE *RC
WILDER KAISER 108

HAH ZAMBER
DAM

KANU
FIFTH DAM

GTPI 2792

TD TL TY MWT TV 99%-I HH1F HH2F HH3F HH4F HH5F HH6F HCDF HMWF

Num.Reg #: HODEUM124688600	aAa: 534126	DMS:
Nacimiento: 02/09/2022	Kappa Caseina: AB	Beta Caseina: A2A2

PRODUCCION

G Rebaños G Hijas 81% Rep. CDCB-G / 04-25

Leche lbs	Grasa lbs	Grasa %	Proteína lbs	Proteína %
779	**2**	**-0.11**	**19**	**-0.02**
NM$ **283**	CM$ **285**	FM$ **285**	GM$ **221**	DWP$ **282**
Eficiencia de Conversiòn **28**	IR **-39**	Comida Ahorrada **-56**	Eficiencia Metano **107**	

SALUD Y REPRODUCCIÓN

Immunity 103

Vida Productiva	**4.0**	Inmunidad crias	**99**
Células Somáticas	**2.60**	Tasa Preñez Vacas	**-0.4**
Fertilidad de las Hijas	**-0.2**	Tasa Preñez Novillas	**1.4**
Durabilidad	**2.0**	Facilidad de Parto	**2.7%** 82% Rep.
Durabilidad Novillas	**-0.1**	Facilidad de Parto de las Hijas	**2.7%** 61% Rep.
Indice de Fertilidad	**0.0**	Crías del Toro que Nacen Muertas	**6.4%**
		Crías de las Hijas que Nacen Muertas	**5.0%**

TIPO

G Rebaños G Hijas 79% Rep. HAUSA-G / 04-25

PTAT	**0.73**	Estruct. y Capacidad	**0.59**
Compuesto Ubres	**0.75**	Estruct. Lechera	**-0.52**
Compuesto Patas	**1.63**		

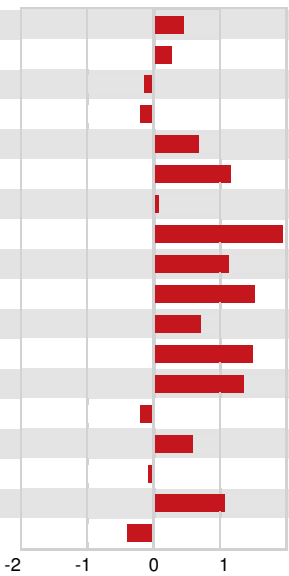

Estatura	Alta	**+0.46**
Fortaleza	Fuerte	**+0.28**
Profundidad Corporal	Poco Profunda	**-0.13**
Estructura Lechera	Cost. Cerradas	**-0.20**
Ángulo de Grupa	Isq. Bajos	**+0.69**
Anchura Grupa	Ancha	**+1.17**
Patas Vista Lateral	Curvas	**+0.07**
Patas Vista Posterior	Aplomadas	**+1.98**
Ángulo Podal	Profundo	**+1.15**
Colocación de las Patas	Correcta	**+1.53**
Inserción Anterior	Fuerte	**+0.75**
Altura Inserción Posterior	Alta	**+1.49**
Anchura Inserción Posterior	Ancha	**+1.36**
Ligamento Suspensor	Débil	**-0.20**
Profundidad Ubre	Recogida	**+0.59**
Colocación Pezones Anteriores	Abiertos	**-0.07**
Longitud de Pezones	Largos	**+1.08**
Colocación Pezones Posteriores	Abiertos	**-0.39**